

10 Prílohy

Zoznam príloh

1. DVD s elektronickou verziou diplomovej práce
2. Chybová matica klasifikácie snímku WorldView-2 na základe pôvodných bodov
3. Chybová matica klasifikácie snímku WorldView-2 na základe pôvodných bodov a bodov získaných z terénu
4. Chybová matica klasifikácie snímku WorldView-2 na základe bodov získaných z terénu
5. Chybová matica klasifikácie výseku snímku WorldView-2 na základe pôvodných bodov a bodov získaných z terénu
6. Chybová matica klasifikácie výseku snímku WorldView-2 na základe bodov získaných z terénu
7. Chybová matica klasifikácie snímku optického leteckého skenera na základe pôvodných bodov a bodov získaných z terénu
8. Chybová matica klasifikácie snímku optického leteckého skenera na základe bodov získaných z terénu
9. Český preklad jednotlivých kategórií legendy lúčnej vegetácie
10. Podklady ortofot od botanika KRNAP so zaznačením prevládajúceho typu manažmentu na území enklávy Modrý Důl v období rokov 2011 – 2012
11. Podklady ortofot od botanika KRNAP so zaznačením prevládajúceho typu manažmentu na území enklávy Klinové Boudy v období rokov 2011 – 2012
12. Podklady ortofot od botanika KRNAP so zaznačením prevládajúceho typu manažmentu na území enklávy Lahrove Boudy v období rokov 2011 – 2012
13. Podklady ortofot od botanika KRNAP so zaznačením prevládajúceho typu manažmentu na území enklávy Přední Rennerovky v období rokov 2011 – 2012
14. Podklady ortofot od botanika KRNAP so zaznačením prevládajúceho typu manažmentu na území enklávy Zadní Rennerovky v období rokov 2011 – 2012

Príloha 2: Chybová matica klasifikácie snímku WorldView-2 na základe pôvodných bodov

Overall Accuracy : 89.362%
Overall Kappa Statistic: 0.872%

Classified Data	Reference Data							Totals
	Class-01	Class-02	Class-03	Class-04	Class-05	Class-06	Class-07	
Class-01	6	0	0	0	0	0	0	6
Class-02	0	6	0	0	1	0	0	7
Class-03	0	0	2	0	1	0	0	3
Class-04	0	0	0	4	0	0	0	4
Class-05	0	0	1	0	8	1	0	10
Class-06	0	1	0	0	0	11	0	12
Class-07	0	0	0	0	0	0	5	5
Totals	6	7	3	4	10	12	5	47

(Zdroj: upravené autorom s využitím Geomatica 10.1)

Príloha 3: Chybová matica klasifikácie snímku WorldView-2 na základe pôvodných bodov a bodov získaných z terénu

Overall Accuracy : 58.947%
Overall Kappa Statistic: 0.503%

Classified Data	Reference Data							Totals
	Class-01	Class-02	Class-03	Class-04	Class-05	Class-06	Class-07	
Class-01	7	1	0	0	0	0	0	8
Class-02	0	9	0	0	4	3	0	16
Class-03	0	0	2	0	3	1	0	6
Class-04	0	1	5	6	0	0	1	13
Class-05	3	4	2	0	13	4	1	27
Class-06	0	3	0	0	2	14	0	19
Class-07	0	1	0	0	0	0	5	6
Totals	10	19	9	6	22	22	7	95

(Zdroj: upravené autorom s využitím Geomatica 10.1)

Príloha 4: Chybová matica klasifikácie snímku WorldView-2 na základe bodov získaných z terénu

Overall Accuracy : 29.167%
Overall Kappa Statistic: 0.130%

Classified Data	Reference Data							Totals
	Class-01	Class-02	Class-03	Class-04	Class-05	Class-06	Class-07	
Class-01	1	1	0	0	0	0	0	2
Class-02	0	3	0	0	3	3	0	9
Class-03	0	0	0	0	2	1	0	3
Class-04	0	1	5	2	0	0	1	9
Class-05	3	4	1	0	5	3	1	17
Class-06	0	2	0	0	2	3	0	7
Class-07	0	1	0	0	0	0	0	1
Totals	4	12	6	2	12	10	2	48

(Zdroj: upravené autorom s využitím Geomatica 10.1)

Príloha 5: Chybová matica klasifikácie výseku snímku WorldView-2 na základe pôvodných bodov a bodov získaných z terénu

Overall Accuracy : 47.222%
Overall Kappa Statistic: 0.290%

Classified Data	Reference Data							Totals
	Class-01	Class-02	Class-03	Class-04	Class-05	Class-06	Class-07	
Class-01	0	1	0	0	0	0	0	1
Class-02	0	1	0	0	3	2	0	6
Class-03	0	0	1	0	2	0	0	3
Class-04	0	0	0	3	0	0	0	3
Class-05	1	2	1	0	8	2	1	15
Class-06	0	3	0	0	1	4	0	8
Class-07	0	0	0	0	0	0	0	0
Totals	1	7	2	3	14	8	1	36

(Zdroj: upravené autorom s využitím Geomatica 10.1)

Príloha 6: Chybová matica klasifikácie výseku snímku WorldView-2 na základe bodov získaných z terénu

Overall Accuracy : 25.000%
 Overall Kappa Statistic: -0.031%

Classified Data	Reference Data							Totals
	Class-01	Class-02	Class-03	Class-04	Class-05	Class-06	Class-07	
Class-01	0	1	0	0	0	0	0	1
Class-02	0	1	0	0	2	2	0	5
Class-03	0	0	0	0	1	0	0	1
Class-04	0	0	0	0	0	0	0	0
Class-05	1	2	0	0	2	2	1	8
Class-06	0	2	0	0	1	2	0	5
Class-07	0	0	0	0	0	0	0	0
Totals	1	6	0	0	6	6	1	20

(Zdroj: upravené autorom s využitím Geomatica 10.1)

Príloha 7: Chybová matica klasifikácie snímku optického leteckého skenera na základe pôvodných bodov a bodov získaných z terénu

Overall Accuracy = 54,1%
 Kappa Coefficient = 0,422

	Class 1	Class 2	Class 3	Class 4	Class 5	Class 6	Class 7	Class 8	Totals
Class 1	5	1	0	0	0	0	0	1	7
Class 2	1	5	2	1	0	1	0	3	13
Class 3	0	1	2	1	4	0	0	0	8
Class 4	0	0	0	2	0	0	0	0	2
Class 5	0	0	1	0	2	0	0	0	3
Class 6	0	0	1	0	0	0	0	0	1
Class 7	0	1	0	0	0	0	2	0	3
Class 8	1	5	1	0	0	2	0	15	24
Totals	7	13	7	4	6	3	2	19	61

(Zdroj: upravené autorom s využitím Microsoft Office Excel 2007)

Príloha 8: Chybová matica klasifikácie snímku optického leteckého skenera na základe bodov získaných z terénu

Overall Accuracy = 27%

Kappa Coefficient = 0,057

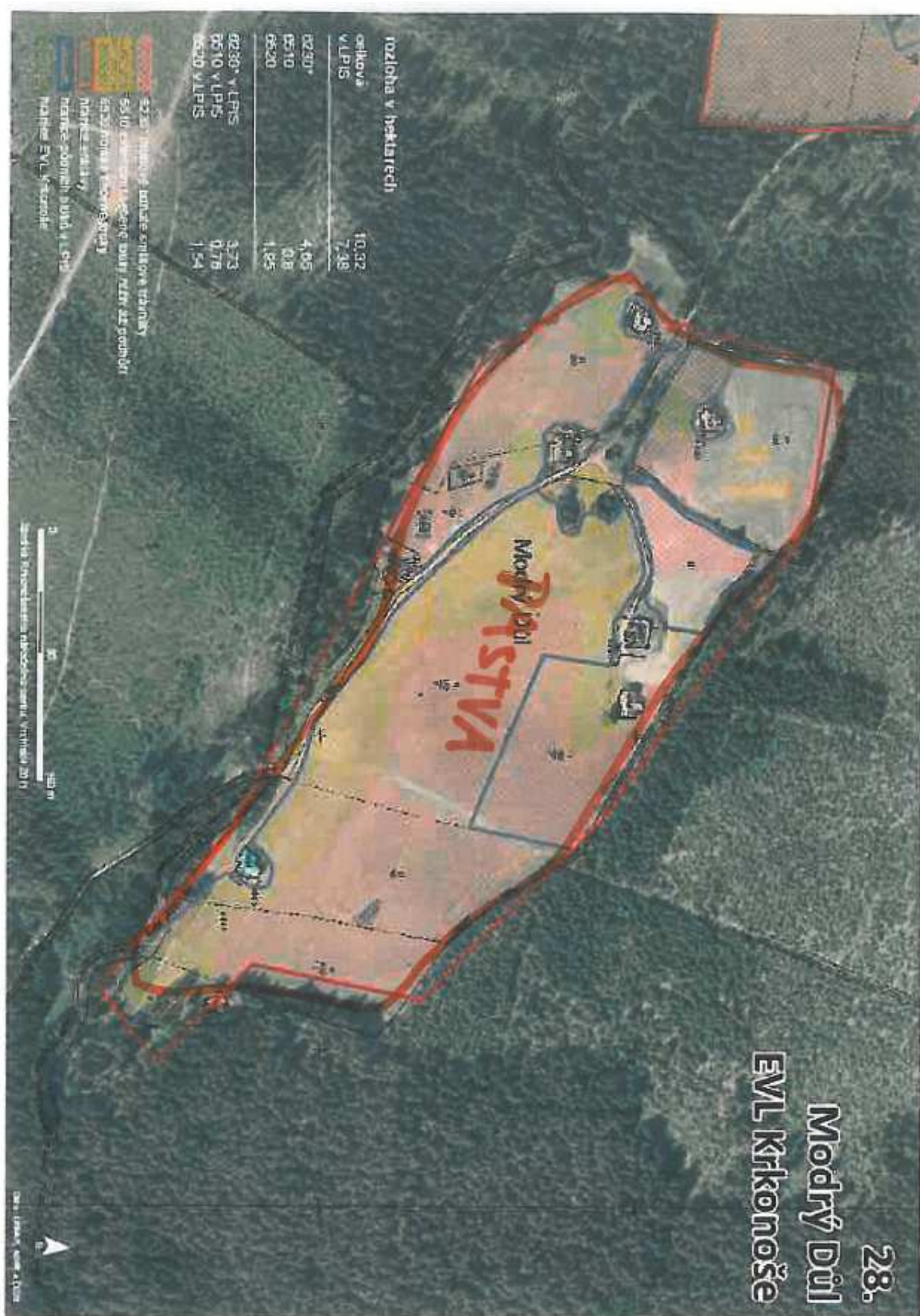
	Class 1	Class 2	Class 3	Class 4	Class 5	Class 6	Class 7	Class 8	Totals
Class 1	1	1	0	0	0	0	0	0	2
Class 2	1	0	2	0	0	0	0	0	3
Class 3	0	1	2	1	4	0	0	0	8
Class 4	0	0	0	0	0	0	0	0	0
Class 5	0	0	0	0	1	0	0	0	1
Class 6	0	0	0	0	0	0	0	0	0
Class 7	0	1	0	0	0	0	0	0	1
Class 8	0	0	0	0	0	0	0	0	0
Totals	2	3	4	1	5	0	0	0	15

(Zdroj: upravené autorom s využitím Microsoft Office Excel 2007)

Príloha 9: Český preklad jednotlivých kategórií legendy lúčnej vegetácie

1. porosty s dominantní smilkou tuhou
2. oligotrofní luční porosty bez dominantní smilky tuhé
3. mezofilní porosty
4. podmáčené porosty
5. degradované louky s převahou dvojděložných bylin
6. degradované louky s převahou travin
7. porosty s dominantními brusnicovitými keříčky
8. porosty s manažmentovým zásahem

Príloha 10: Podklady ortofot od botanika KRNAP so značením prevládajúceho typu manažmentu na území enklávy Modrý Důl v období rokov 2011 – 2012



Príloha 12: Podklady ortofot od botanika KRNAP so značením prevládajúceho typu manažmentu na území enklávy Lahrove Boudy v období rokov 2011 – 2012

